

# 論 言 免 幸 及 告

第 27 卷 第 2 號 昭和 16 年 2 月

## 擁壁に作用する地震時土圧の分布状態に關する實驗的研究

(昭和 15 年 4 月 4 日第 4 回工學會大會講演會に於て一部講演)

會 員 松 尾 春 雄\*

**要 約** 地震時壁面に作用する土圧の分布状態を明にする爲、寸法  $40 \times 48 \times 110$  cm 及び  $183 \times 190 \times 734$  cm の 2 種の振動函に乾燥せる砂を滿し之に水平振動を與へて鉛直壁面に於て各深さの壓力の強さを測定した試験結果である。之に依れば振動中に土圧が振動周期と共に變化する量は土の深さに比例して増大せず却つて表面附近に於て大である。從つて地震時土圧の計算には在來とは全然考へ方を變へなければならぬ事が明になつた。

### 目 次

- |               |              |
|---------------|--------------|
| 1. 緒言         | 3. 大型振動面試験   |
| 2. 小型振動面試験    | 1. 試験の装置及び方法 |
| 1. 試験装置及び試験方法 | 2. 試験の種類及び結果 |
| 2. 試験の種類及び結果  | 4. 結言        |

### 1. 緒 言

土木試験所報告第 22 號（昭和 7 年 5 月）及び本誌 18 卷 8 號（昭和 7 年 8 月）に地震時土圧の實驗的硏究として報告したものは乾燥した砂を詰めた小型振動函に水平振動を與へた場合振動に直角な壁面に作用する全土壓力をピエゾ電氣壓力計によつて測定した結果であつた。之に依れば壁面に作用する全土壓力は 地震時土圧公式として物部博士及び岡部博士が提案された計算式に近い値が得られ、尙主として次の事柄が明にされた。

1. 擁壁が地震を受けた場合、最大震度に達した初期に於て土壓力は最大である。
2. 裏込土砂のゆり込みに依る影響の爲、振動後に於ける靜止土壓力は理論上の正土壓よりも大なる値を示す。
3. 土砂ゆり込みの影響は震度が小なる時に比較的大であつて、この爲に計算値より大なる値を示す事がある。
4. 裏込土砂の突固めを十分にする事は振動初期の增加壓力を小にする效果がある。

以上の結果は壁に作用する壓力を水平 2 支點にて支へた場合の全壓力の測定結果に基いて論じたのであつて、壓力の分布状態に就ては殆んど検討を試みる事が出來なかつた。

但し實験中に震動による增加壓力は割合に壁上方に於て大である事を認めたが（同報告 54 頁参照）之は壁に彈性支點を用ひた爲と解釋した。しかして壁全體に作用する土壓力は物部、岡部兩博士によつて示された計算法による値に近いものが觀測されたので擁壁の地震時安定計算には、更に異つた寸法の種々の試験結果によつて地震時土圧の量が定量的に決定される迄は近似的に上記の算定法に依るを適當と結論したのであつた。

本報告は前報告に疑問として残されてゐた壓力の分布状態に就て試験を行つた結果である。

即ち前報告に於ては主として壁面全體に作用する土圧の係数及び底面の周りの力率に就て論じたのであるが、本報告に於ては主として各深さに於ける壓力の強さを測定した結果を報告する。

砂の深さ 48 cm 及び 190 cm の 2 種の振動函を用ひ各函に於て砂の深さを數種に變へた場合に 乾燥砂が壁面に及ぼす壓力の強さの變化を實驗的に求めた、小型試験では壁を固定した場合及び彈性變位を許した場合の比較をも行つた。

\* 内務技師 工學士 内務省土木試験所

## 2. 小型振動函試驗

### 1. 試験装置及び試験方法

一般装置及び振動函 振動函は前報告に述べたものと同様のものを使用した。即ち幅 40 cm, 高 43 cm, 長 110 cm の内法寸法の側面硝子の銅製函であつて、長さの方向の端に於て最大 40×40 cm の面に作用する圧力を測定し得る。振動は函を釣る 4 枚の鐵板（本報告のものは厚 0.85 cm, 幅 7.75 cm, 長 110 cm のものを使用す）により圧力測定面に直角の方向に振動を與へた。振動は特別の振動装置を用ひず入力に依つた。即ち豫め振動周期を測定し、この周期より最大水平加速度と重力の加速度との比即ち震度が 0.1, 0.2, 0.3, 0.4 等に相當する振幅を算定しあき、振幅が之に相當する時に圧力の記録の中に之を記録するやうにした。

振動周期は函の中の測定壁に於ける砂の深さが 40, 30, 15 cm の 3 種の場合夫々 0.90, 0.84, 0.75 秒であり各震度に相當する振幅  $r$  は次の通りである。

表-1. 各震度に相當する振幅  $\varphi$  (cm)

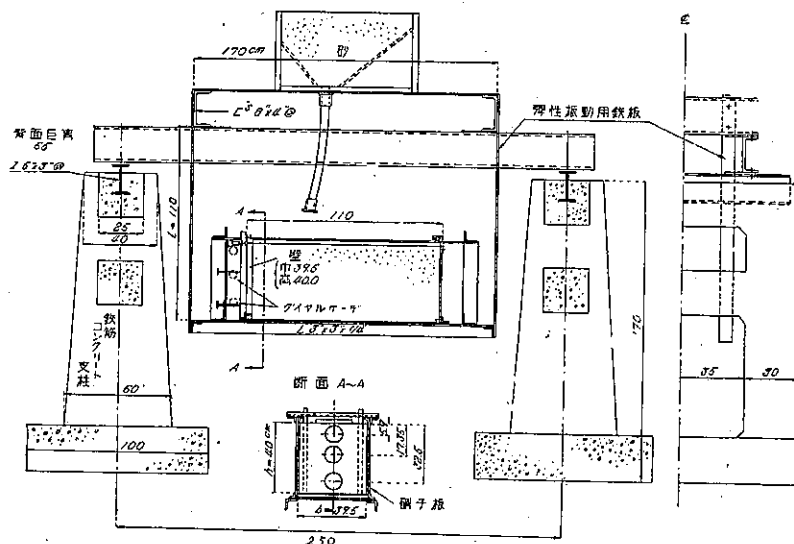
周 期	0.90 秒	0.84 秒	0.75 秒
震度 $k = \alpha h/g$			
0.1	$r = 2.02 \text{ cm}$	$r = 1.75 \text{ cm}$	$r = 1.40 \text{ cm}$
" 0.2	4.04	3.50	2.80
" 0.3	6.06	5.25	4.20
" 0.4	8.08	7.00	5.60

振動中に於ける振幅は本報告のものは固定指示器が示す振動函の目盛を讀んだ爲に振幅に於て最大0.2 cm 程度の誤差が入つてゐると思ふ。

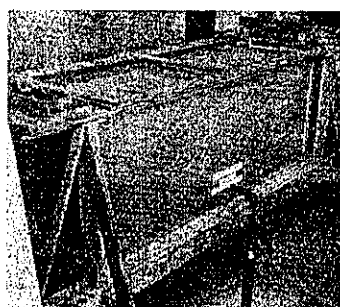
この装置では水平振動と共に上下方向の加速度を伴ふ譯であるが之は水平の加速度に比し極めて小であるから計算には省略した。

圖-1. 小型振動函及**印**振動裝置

(a) 側面圖



(b) 振動函寫真



(c) 測定装置



**圧力測定壁面**　圧力測定壁面は図-1 の断面 A-A に示す通りであつて、幅 39.5 cm、高さ 40 cm、厚さ 2.8 cm の檜板の壁を振動函の一端に固定し、この壁面の中心線に沿ふて 3 個の受壓器を取付け得る様装置した。但し受壓器の寸法の爲同時に 2 個だけしか取付ける事が出来なかつたから上中下の 3 個の中、上と下、中と下といふ組合せはせに就いて測定を行つた。

函の中に詰める砂の深さは測定壁面上 40 cm, 30 cm 及び 15 cm の 3 種とし測點の中心の砂表面からの深さは夫々  $h=5.9, 17.35, 32.5$  cm;  $h=7.35, 22.5$  cm;  $h=7.5$  cm である。壁は外側に縦に取付けた  $2.6 \times 3.0$  cm の 2 本の角材により振動函に固定する。壁に 2 個の各々重量 1.15 kg の受壓器を取付けた状態での重量は 6.045 kg であつた。

弹性支点の場合には三角形の断面(底幅 1.5 cm, 高 1.0 cm, 長さ 1.0 cm)を有する 2 個の真鍮製金具を壁の下端に中心間隔 27 cm に取付け壁全體がその三角形の頂點の周りに動き得る様装置した。壁の外側の水平支点には壁の上端中央に 2×2 cm 厚さ 0.6 cm の弹性ゴム ( $E=141 \text{ kg/cm}^2$ ) を取付けた上に同じ寸法の真鍮角板を取り付け之を支柱にて支へた。振動中の壁の面に對する動きを観測する爲に中心より約 6 cm の線上 3ヶ所の高さに於て壁外側に 1/100 mm 讀みのダイヤルゲージを取付け振動中の面に對する動きを読み取つた。肉眼によつた爲振動中の読みは最大 2/100 mm 程度の誤差があり得る。

Figure 2 consists of two parts. The left part is a technical drawing showing a rectangular metal plate (受圧板) with a central hole, mounted on a wall by four screws. A thin metal strip (導線) connects the plate to a vertical support. The right part is a circuit diagram labeled '圧力測定用受圧器 (左) 及び発振回路' (Left: Pressure Measurement Sensor and Excitation Circuit). It shows a bridge circuit with resistors R<sub>1</sub>, R<sub>2</sub>, R<sub>3</sub>, and R<sub>4</sub>. A variable capacitor C is connected between R<sub>2</sub> and R<sub>3</sub>. A power source E is connected to the bridge. A feedback loop goes from the output terminal to the non-inverting input of an operational amplifier (UK201A). The inverting input of the op-amp is connected to ground through a resistor R<sub>5</sub>. The output of the op-amp is connected to a speaker (スピーカー) and also provides feedback to the bridge circuit.

試験開始に先立ち受壓器を水壓検定器に取付けて受壓器コンデンサーに加はる壓力と容量の変化との関係を別に上記コンデンサーと共に並列につないだ標準コンデンサーによつて明にした。検定の後受壓器を振動函の土壓測定箇所に取付け函内に砂を満し表面を均した後静土壓を受壓器コンデンサーの容量の変化により測定する。

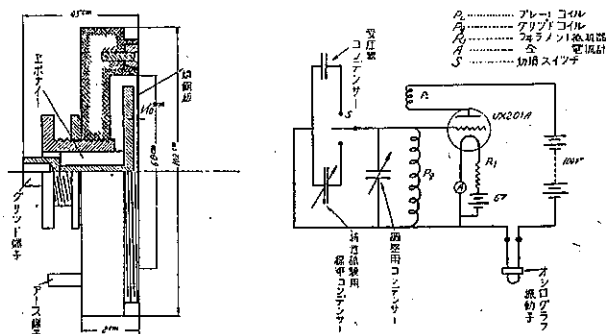
次にこの静土圧に相當する位置よりの振動子の振れと容量の變化を標準コンデンサーにて読み取つた後に振動土圧の測定を開始する。検定より試験開始までの時間は最長 30 分であつて此の時間の経過による電源の蓄電池の電圧低下の影響がない事は豫め之を確めた、又振動中導線の位置の変化によつて容量の變化を生ずる虞れがあるが、空の状態にて試験した結果この影響は殆どない事を確めた。

受壓器膜面の歪は駆力が  $16 \text{ gr/cm}^2$  の場合に  $1.6/100 \text{ mm}$  であつた。

試験方法 受壓器を検定した後之を函壁面に取付け振動函を固定し靜に砂を満す。砂は豫め振動函砂表面上約90cmの高さに底面を有する大きさ74×60cm深さ45cmの高置貯槽に入れておき、その底面から内徑2.3cmのゴムホースにより振動函中に落し込む。之は砂詰めの状態を常に同一にせん爲めである。常に表面が成る可く水平になつてゐる様に満す。満し終つて後表面を靜に均し靜土圧を測定して後振動試験を行ふ。

砂詰めに要する時間は深さ 40 cm の場合に 15~17 分, 30 cm の時約 10 分, 15 cm の場合に約 7 分である。各試験毎に砂を出し入れする手数を少くする爲に試験結果に影響を及ぼさないと考へられる部分の砂は残す事にした。即ち壁に接した底面幅約 20 cm を残し之から砂の自然勾配約 30° に上方に廣がつた部分の砂を常に入れ替へた。

圖-2. 圧力測定用受壓器（左）及び發振回路



振動試験は普通次の順序を標準とした。即ち

第1回、静止状態から次第に振幅を大にし約30秒の間に震度0.4に相当する振幅まで到らしめる。その同一振幅の振動を約30秒繼續した後振幅を次第に小にして約30秒の間に静止の状態に到らしめる。此の間の压力の時間的変化を長さ約33cm幅9cmのオッショグラフロマайд紙上に記録し、各震度毎に記号を入れる。

第2回、第1回の振動の終つた後静土壓を読み取り(約1分間を要す)次に第1回と同様の記録をとる。

第3回、同様の事を更に反復する。

第4回、压力の變化を詳細に検討する爲普通震度0.4の状態の壓力波を記録圓筒の回轉を早くして記録する。

以上で1組の試験を終るのであるが試験中の壁面の動きは各震度毎に普通3個のダイヤルゲージにて読み取つた。又實験の各1回の終に於ては砂表面の沈下量を見た。

砂 砂は前報告の試験に用ひたと略同じものである。即ち荒川の水門下流にて採取した平均粒径0.225mmのものである。採取の後充分に水洗ひして泥を除き日光にて乾燥したもので直徑10cmの圓形剪断面を有する簡単な剪断器による試験の結果  $j = 0.56n + 0.0016 (\text{kg}/\text{cm}^2)$ ;  $\varphi = 29^\circ 20'$ ;

砂と壁面との間の摩擦角は  $\varphi_0 = 29^\circ$  であつた。砂粒の比重は2.70であるが単位容積の重量は既記の方法にて詰めた場合底面に於て  $10 \times 10 \times 10 \text{ cm}$  の内法の小箱をおき3回測定の結果は平均  $w = 1.558$  面上端附近に於て1.324である。振動後に於ては之より稍々重くなる。上記小箱の側面をたいた時  $w = 1.48$  までに到るが、試験中は此の如く密にはならない。計算には  $w = 1.33 \text{ gr}/\text{cm}^3$  を採つた。

## 2 試験の種類及び結果

試験の種類は表-2に示す通りである。即ち砂の深さ  $H = 40 \text{ cm}$  の場合は深さの異なる3點、 $30 \text{ cm}$  では2點、 $15 \text{ cm}$  では1點の压力の変化を調べた。深さ  $40 \text{ cm}$  のもののみに就ては彈性支點の状態での試験を行つた。之では支點の状態が常に變化するらしく結果は常に一様なものが得られなかつた。

表-2. 試験の種類

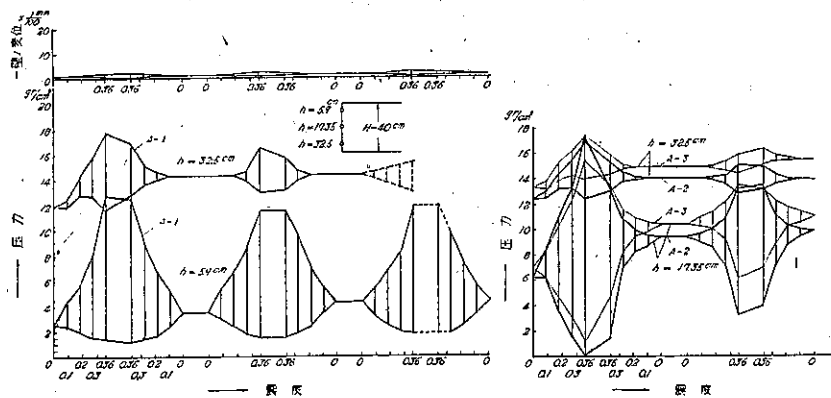
試験番號	砂の深さ $H$ (cm)	支 点	測點の地表面よりの 深さ $h$ (cm)	連続振動回数	振動周期(秒)
A-1	40	固 定	5.9 32.5	3	0.90
2	"	"	17.35 32.5	2	"
3	"	"	" "	"	"
B-1	30	"	7.35 23.50	3	0.84
2	"	"	" "	4	"
C-1	15	"	7.5 "	"	0.75
2	"	"	" "	"	"
A'-1	40	上, 弹性 下, 固定	17.35 32.5	2	0.90
2	"	"	" "	3	"
3	"	"	5.9 32.5	"	"
4	"	"	" "	"	"
5	"	"	77.35 32.5	"	"
6	"	"	" "	"	"

固定支點による試験結果 振動中の压力の記録は本文終りの寫真に示す通りであつて、之等を整理して図-3～5の結果を得た。その中深さ  $40 \text{ cm}$  の場合は試験の初めに測定した周期に誤があつた爲 0.4 の震度までの結果が得られなかつた。

圖は各震度での压力の振幅を示したものであるが、之によれば第1回の振動による压力の振幅がその後の同一震度の振幅に比し著しく大である。振り初めには砂のゆり込みの影響の爲压力の変化が大となるがその後は落付いて一定の状態になる爲と思ふ。压力は第2回の振動以後は殆ど一定となる。依つて今第1回の振幅を次第に大

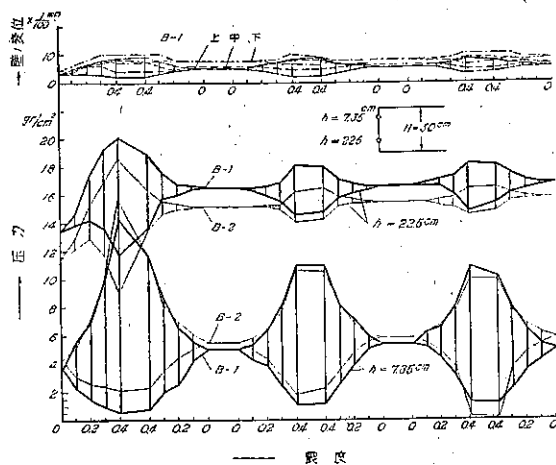
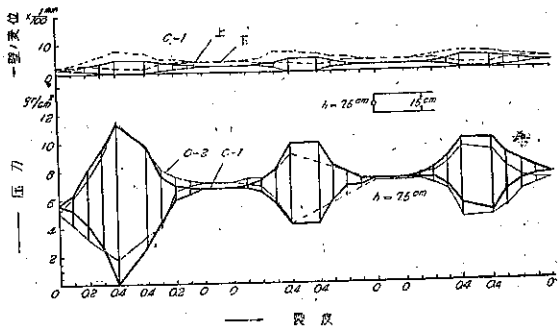
図-3. 固定支点による  $H=40\text{ cm}$  試験結果

圧力の変化及び壁の變位、左圖は試験 A-1 の結果で  $h=32.5\text{ cm}$  及び  $5.9\text{ cm}$  (下, 上) の組合せはせ、右圖は A-2 及び A-3 の 2 回の結果で  $h=32.5\text{ cm}$  及び  $17.35\text{ cm}$  (下, 中) の組合せ。左圖上には  $h=17.35\text{ cm}$  に於ける壁の振動試験中の變位を示した。

図-4. 固定支點  $H=30\text{ cm}$ 

壁の變位測點の上, 中, 下は壓力測定と同じ高さである。

B-1 及び B-2

図-5. 固定支點  $H=15\text{ cm}$   
C-1 及び C-2図-6. 圧力の分布状態固定支點  $H=40\text{ cm}$  第 1 回最初の振動の場合

左圖は高さに依る壓力の變化; ●○等は震度  $k=0, 0.1$  等の觀測値を示す。右圖は觀測平均値  $p$  を土壓係数  $C_h (= p/wh)$  に換算した値を示す。同圖右下太線は壓力の重心の高さを示す。細線は  $k=0$  よりの增加壓力のみに就ての重心の位置。試験 A-1 乃至 A-3

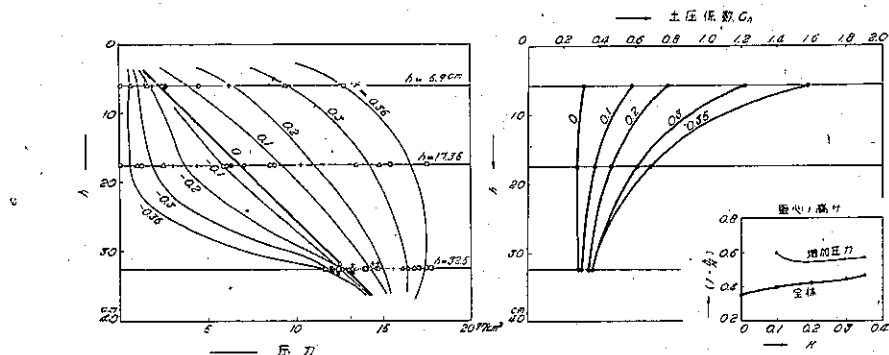
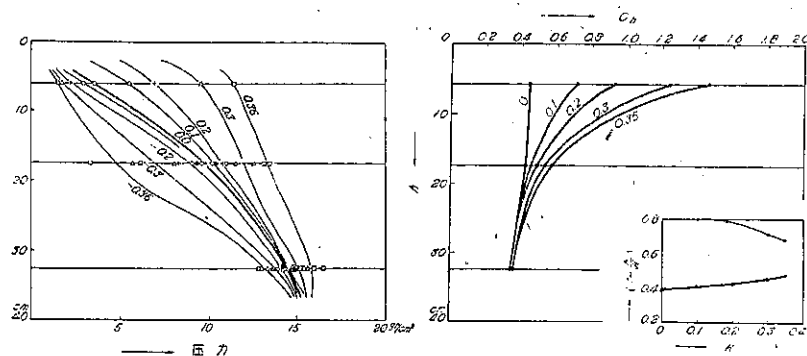


図-7. 同上第2回目の振動

図-8. 固定支点  $H=30\text{ cm}$  の第1回最初の振動

B-1 及び B-2

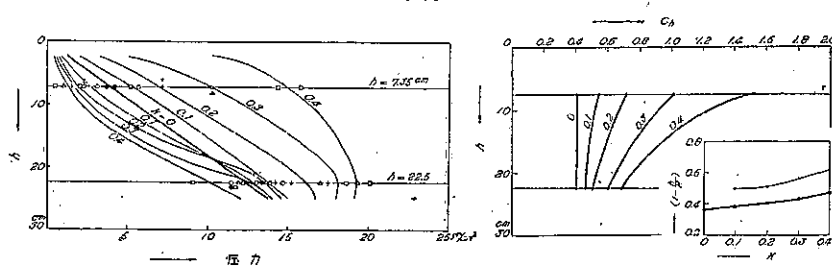
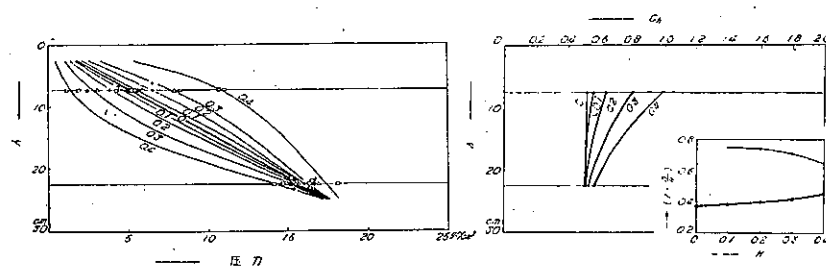
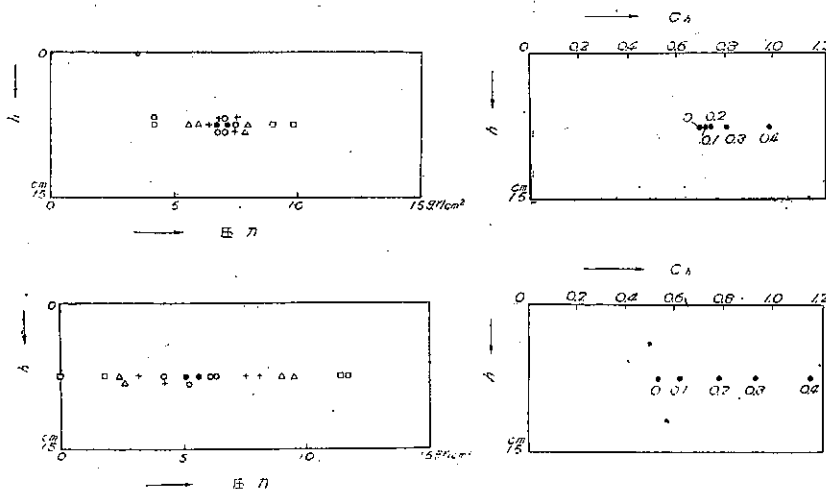


図-9. 同上第2回目の振動

図-10. 固定支点  $H=15\text{ cm}$  の試験結果及び土圧係数

上は第1回最初の振動, 下は第2回目の振動。C-1 及び C-2



にする振動時に於ける圧力と、第2回目の同じ時の圧力の最大最小の値を各高さの壁毎に換算図-6 以下に示した。之に依れば地震時に増加する力は砂の表面附近で大であつて底に至るに従ひ稍々小となる。今此等を土圧係数に換算して圖の右に示した。 $h$  を砂の表面よりの深さとすれば最大圧力  $p$  を  $wh$  にて除した値である。

各震度毎の最大圧力の変化及びその重心の位置は圖-6 以下の右に示した通りである。重心の高さは全體の圧力及静止土圧を差引いた増加圧力のみの場合との兩者に就て算定した。簡単の爲一つの圧力測點を中心として、その隣の測點の中央までは同じ圧力分布状態にあるものと假定して計算した。従つて高 15 cm の場合は測點が 1 個である爲この計算を行ふ事が出来なかつた。

之によれば全體の重心即ち各震度に於ける最大圧力の合力の高さ  $(1-h/H)$  は静止の状態では 0.4 より小であるが、震度の増大に伴ひ次第に大となる。増加圧力のみの重心の位置は第1回と第2回との間に著しい差があるが何れの場合も 0.5 より大である。

弾性支点による試験結果 弾性支点の場合は圖-11 に示す如く反復した結果が同一のものを得られなかつた。之は振動 1 回毎に支点の状態が異つて来る爲と思ふ。依つて數回反復した平均値を圖-12, 13 に示した。之に依れば固定支点の場合に比し力の重心の位置が低い。上の支点が動く爲壁上方に作用する力に比し下方に作用す

圖-11. 弾性支点;  $H=40$  cm 圧力変化及び壁の變位

壁は下端固定、上端を弾性支点にて支へたもの。試験 A'-1 乃至 A'-6 の結果

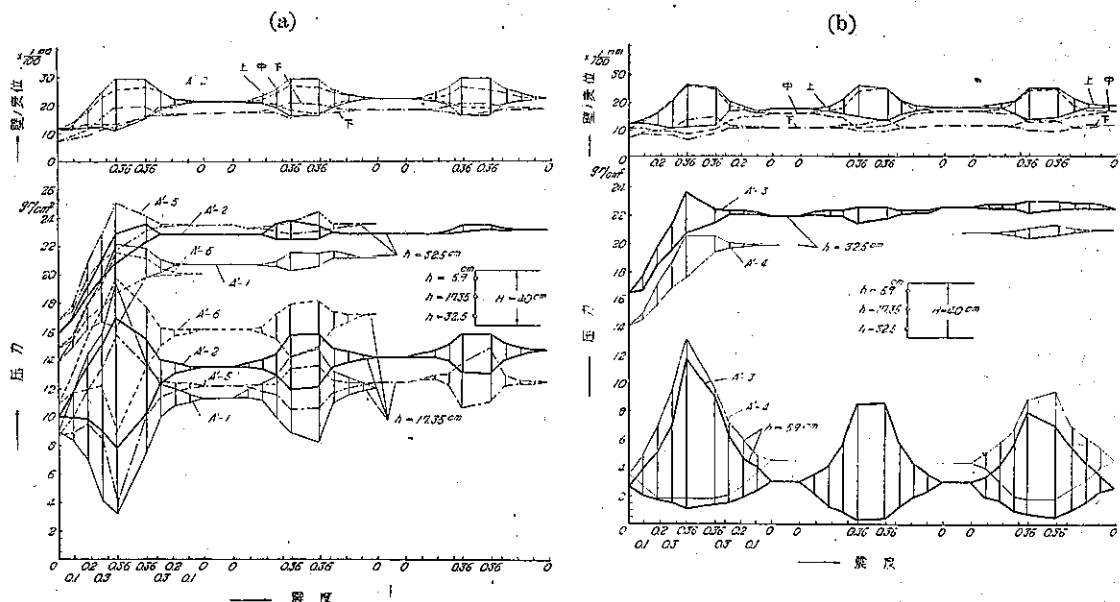


圖-12. 圧力の分布状態弾性支点  $H=40$  cm 第 1 回目の振動

A'-1 乃至 A'-6

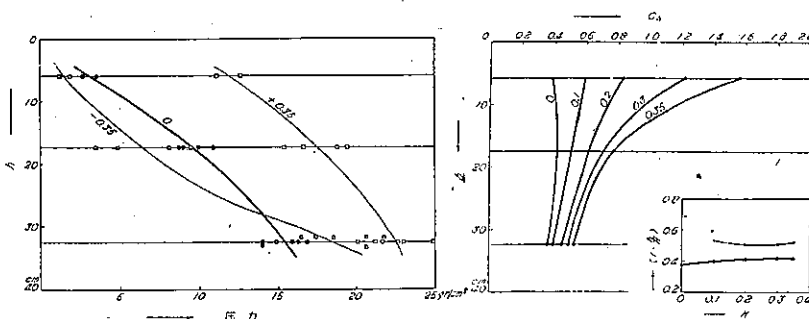
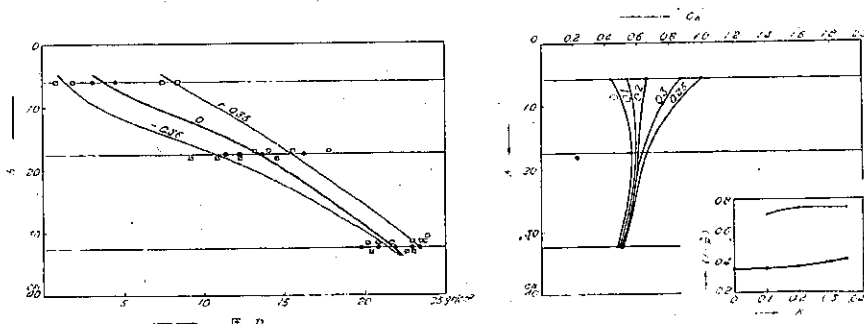


図-13. 同上第2回目の振動



る力が大になる爲と思ふ、固定支點の時に比し増加壓力が上の支點では稍々小、下の支點で稍々大になり、従つて重心が稍々下つて来る程度の相違であつて、根本的な違ひは生じない、試験所報告 22 號に於て弾性支點では増加水頭の重心の高さ  $h_c'/H$  が 0.4~0.5 に於て固定支點の場合よりも小なる値となつてゐる事と一致する。

壁の水平方向の変位は図-11 の上方に示した通りであるが静止時に於ける変位を初めの砂詰め以前の壁の位置を 0 として各高さに就て示せば表-3 の通りである。第 1 回振動以後に於ては著しい變化はない。

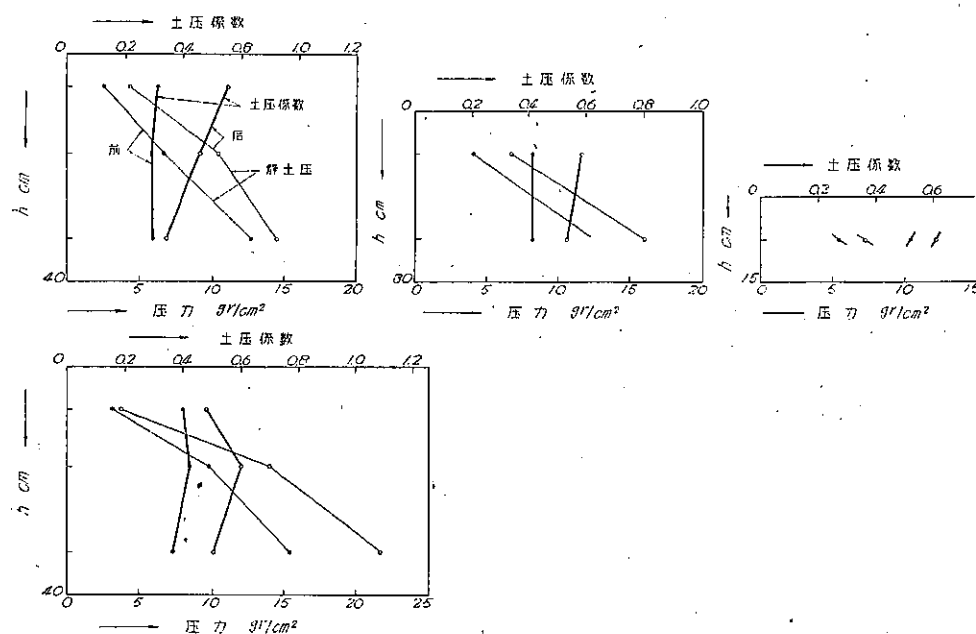
表-3. 壁の静止位置の変位 砂詰め直前の位置を 0 とする（単位 1/100 mm）

測 點	試験番號	A'-1	A'-2	A'-3	A'-5	A'-6
$h=5.9$	1. 砂詰め直後	12	12	12	14	14.5
	2. 第1回振動後	19	21	17	20	22
$h=17.35$	1.	9	11	10	14.5	13
	2.	15	21	15	22	22
$h=32.5$	1.	7	7	7	5	5
	2.	13	17	10	11.5	11

図-14. 静止土圧力の増大

各図共左の細線は振動前、右は振動後の壓力。太線は之を土圧係数に換算した値。

上の 3 図は固定支點の砂の深さ 40, 30 及び 15 cm の場合、下側は弾性支點の砂の深さ 40 cm の場合。



之に依れば砂詰めにより壁上方は稍々前方に到れる傾向があり、振動後に於てはその儘平行に前方に移動する傾向が認められる。

静止土圧力の増大 静に砂を満した後と振動を與へた後とでは静止土圧力が異なる。各測點の此等の平均値及び之を土圧係数に換算した値は図-14に示す如く固定支點に於ては表面から約20cmの深さに於て圧力の増し高が最大となる傾向が見える。しかしそを土圧係数に換算した値は表面近くに於て最大であつて深さと共に減少する。砂の深さ  $H=30$  及び 15 cm の場合には最初の正土圧が大であるが表面附近での圧力の増し高は  $H$  の大なるもの程大である。

彈性支點に於ては増し高は深さと共に大となり土圧係数も  $h=20$  cm 附近に於て最大となる傾向が認められる。彈性支點の場合には振動中の壁の變位の爲砂が壁に沿つてゆり込む可能性が多くその爲に固定支點の時よりも深い處に於て大なる抵抗土圧力が生ずるものと思ふ。

前報告との比較 前試験に於ては壁に作用する全圧力を測定し本試験に於ては圧力の強さを直接測定した爲、兩者の比較は困難であるが本報告に於ける圧力の強さが同じ深さに於ては壁の幅全體に對し同一であると假定し、且つ隣の測點との中央迄の高さに一様にこの圧力が作用するものと考へて壁に作用する全土圧力を算定し、之を土圧係数に換算した値及び之から計算した合力の高さと前報告の全圧力を土圧係数に換算した値及び兩支點から算出した合力の高さとを比較する。兩者では壁の變位が同一でない爲同じ結果を期待する事は困難であるが各固定及び彈性支點の場合に區別して比較を試みる。

正土圧 静に砂を満した場合及び振動試験を行つた後の土圧係数は固定支點の時 表-4 の通りである。

表-4.

		砂詰め直後		試験後	
		$C_h$	$h_e/H$	$C_h$	$h_e/H$
固定支點 $H=40$ cm	前報告 <sup>1)</sup>	0.276	0.397	0.362	0.294
	本報告	0.289	0.360	0.367	0.385
彈性支點 $H=30$ cm.	前報告 <sup>1)</sup>	0.349	0.357	0.346	0.374
	本報告	0.370	0.374	0.515	0.370

即ち固定支點では兩者土圧係数の測定値が殆ど同じであるが、彈性支點は變位の状態が異なる爲、上記の如く異つた値を得た事と思ふ。重心の位置は振動後に於ては著しく異つて出たが、之は振動中の壁の状態の僅かの變位の相異によつて生ずる様に思ふ。

振動初期の圧力變化 振動の周期は兩者殆ど同じであるから同一加速度に於て初めの静土圧よりの圧力の増し高を上記と同様土圧係数に換算して比較すれば表-5の通りである。振動中の壁の變位は一般に前報告のものの方があつてると推定されるに拘らず、割合に近似的の値を得てゐるのは振動の初期に於ては粒體の變位が割合に自由であつて壁の變位の影響が少ないとあると思ふ。

表-5.

		$k=0.1$		
		$k=0.2$	$k=0.3$	
固定支點 $(H=30$ cm)	前報告 <sup>2)</sup>	0.087	0.201	0.308
	本報告	0.066	0.175	0.300
彈性支點 $(H=30$ cm)	前報告 <sup>2)</sup>	0.085	0.180	0.285
	本報告 $(H=40$ cm)	0.070	0.160	0.250

1) 上木試験所報告 22 號 18 頁参照（各回の平均値を示した）

2) 同上報告 23~30 頁 試験 No. 43, 44, 45 (固定支點) 及び試験 No. 41, 42, 50 及び 46 (彈性支點) 平均値

安定状態に達して後の圧力變化 前報告に於ては安定状態の試験を行ふ場合には豫め最大  $k=0.3$  に相當する振動を約 4 分間與へた後に観測を行つたのであるが本報告に於ては  $k=0.35 \sim 0.4$  の振動を約 30 秒宛 2 回與へた後の値である。

表-6.

			$k=0.1$	$k=0.2$	$k=0.3$
<u>固定支點</u> $H=40\text{ cm}$	前報告 <sup>3)</sup>		0.032	0.090	0.172
	本報告		0.025	0.048	0.105
<u>固定支點</u> $H=30\text{ cm}$	前報告 <sup>4)</sup>		0.040	0.075	0.200
	本報告		0.010	0.030	0.070
<u>彈性支點</u> $H=40\text{ cm}$	前報告 <sup>5)</sup> (上支點彈性 下支點固定)		0.020	0.056	0.180
	前報告 <sup>6)</sup> (上下支點とも彈性支點)		0.013	0.040	0.098
	本報告		—	0.021	0.050

\* 壁の変位は固定支點では前報告では壁の厚さにより  $H=40\text{ cm}$  では  $k=0.3$  の場合に最大変位  $\varepsilon=0.01 \sim 0.06\text{ mm}$ ,  $H=30\text{ cm}$  では  $\varepsilon=0.04\text{ mm}$  であるに對し、本報告のものは  $H=40\text{ cm}$  では  $0.01\text{ mm}$ ,  $H=30\text{ cm}$  では  $0.08\text{ mm}$ , 彈性支點の場合は前報告上彈性下固定支點及び彈性 2 支點何れの場合も  $\varepsilon=0.12 \sim 0.40\text{ mm}$  であるに對し本報告では常に  $0.20\text{ mm}$  である。増加全壓力の重心の位置  $h_c/H$  は前報告に於ては固定支點  $H=40$  が平均 0.520,  $H=30$  が 0.453, 上彈性下固定支點の場合が 0.20, 彈性 2 支點が 0.223 なるに對し本試験では固定支點  $H=40$  では 0.6,  $H=30$  では 0.65, 彈性支點では 0.45 となり何れも本試験の方が高い位置にある。

固定支點  $H=30\text{ cm}$  は前報告は深さ 40 cm の上層 30 cm の圧力を測定したものであるが本報告は底面よりの深さが 30 cm である爲著しい差を生じた事と思ふ。尙結果に影響を與ふる原因として本報告のものでは壁面の一部に膜を設けた爲周囲の壁面に對し上記測定の範囲では最大  $2/100\text{ mm}$  程度の歪を生じこの附近だけ應力の分布状態が異なる事を考へ得る。テルザギー氏の静止状態による試験報告<sup>7)</sup>によれば壁の変位が壓力に及ぼす影響は密裝砂に於ては輕装砂よりも大であるが静止壓力に於ては  $2/100\text{ mm}$  程度の変位では土圧係数の變化は最大 14% 程度である。

従つて靜土壓に關する限り上に得た如き差を之によつて説明する事は困難である。然し振動中の狀態に於ては僅かの壁の特に局部的の歪によつて著しく壓力に差を生ずる事は考へ得る處である。又砂が安定した狀態に於ては膜面の歪の影響が振動初めの不安定の時よりも大である事も當然考へ得られる。今迄の試験では之を充分に説明するに至つてゐないが更に膜面の厚さ從つて歪の異なる場合に就て試験してこの點を明にしたいと思ふ。

### 3. 大型振動函試験

#### 1. 試験の装置及び方法

振動函 圖-15 に示す如き寸法を有する函であつて内法高さ 1.9 m, 幅 1.83 cm, 長さ 7.32 m の中一方の端に近く端から約 1.90 m の箇所に隔壁を設け、之に作用する壓力を測定した。函は鋼板及び形鋼より成り、空の状態にて重量約 8 t 試験の状態にては壁 I の場合 29.75 t, 壁 II の場合 28.5 t である。函全體が水平軌條の上に置いたローラーの上にあつて、之に 30 HP 滾揚機を使用して水平振動を與へる。圖-16 の如く滾揚機によつて圓

3) 土木試験所報告頁 23 試験 No. 1, 2, 3 平均

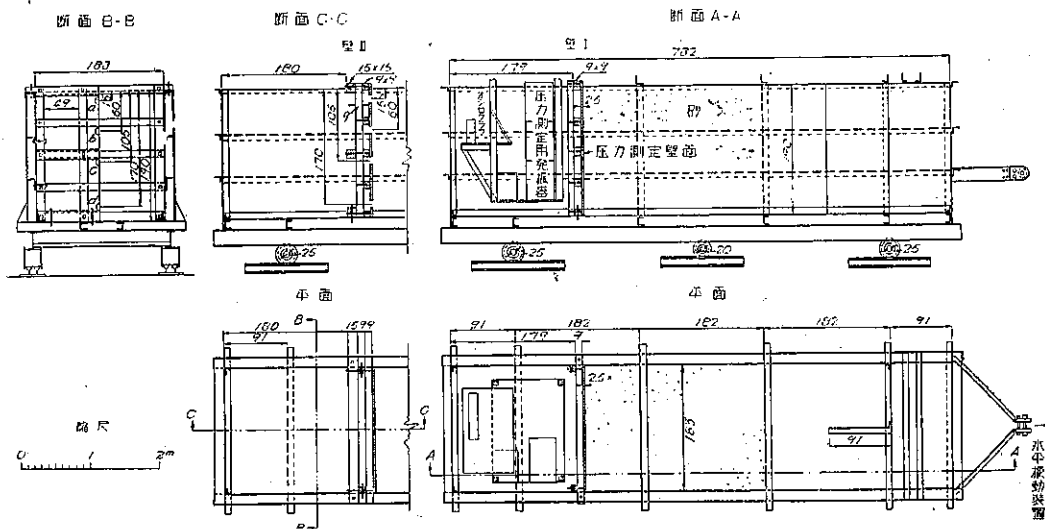
4) " 頁 33~34 試験 No. 4 及び 5 平均

5) " 頁 34~35 試験 No. 7~12 平均

6) " 頁 36~38 及び 24 試験 No. 14~26 及び No. 41, 42 平均

7) Engineering News Record Feb. 1, 1931 以下

図-15. 大型振動函



錐洞に詰め掛けたワイヤーを抜き取り、之によつて圓錐洞の一端にある偏心軸に回轉を與へ、之に取付けたクラシック軸により振動函に水平振動を與へる。圓錐洞を用ひた場合には振動中周期が次第に大となる。然し必要な場合には圓錐洞に加工して圓筒洞となし回轉初めより終りまで常に一様な振動を與へるやうにする。かくして周期は約 0.9 秒及び 1.8 秒の一様の振動及び 1.8~0.9 秒の間次第に變化する振動を與へ得る。振幅は各振動中は略一様であり、本試験に於ては  $r=13, 19, 25, 3$  及び 31 mm のものを用ひた、図-17 は函の振動状態を記録したものである（振幅 27.0 mm, 周期 1.40~1.23 秒）。

壓力測定壁面及壓力測定装置 図-15 に示す如く壓力測定壁面は函の幅一杯に張つた米松板厚さ 2.5 mm、幅 30 cm のものを縦に用ひたもので幅の中央に函天端より深さ 15, 60, 105 及び 170 cm に 4 箇所（順次測點 a, b, c, d と稱へる）壓力測定用受壓器を取付け得るやうにした。土と接する面に於ては測定壁と平らになるやうにした。

図-16. 振動装置及び振動函

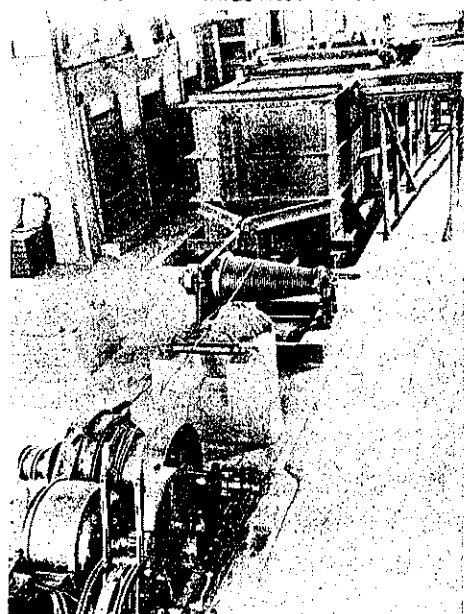


図-17. 振動記録



壓力測定受壓器は小型試験に用ひたものと同一であつて受壓部分の直徑 6.8 cm を有する。同時に 3 個を用ひ得るのみであつたから反復して各深さの壓力を比較する事とした。

試験方法 小型試験に於けると同一の砂を用ひた。即ち平均粒径 0.225 mm を有する乾燥砂である。測定結果は砂の詰め方に影響される事大であるから常に一様な状態を得る様に心掛けた。即ち函の天端に幅約 30 cm の足場板 3 枚を間隙約 5 cm をあけて敷き並べ、スコップにてこの板の上に砂を載せ、間隙から落ちて函中に入るや

うにした。この詰め方による砂の単位容積重量は  $1.4 \text{ kg/l}$  であった。深さ 190 cm の試験を行ふ場合に砂詰めに要する時間は約 4 時間である。各試験毎に砂は大部分函から取り出し入れを行ふ。試験中砂が沈下する場合には壁の前面附近の沈下量は静に之を補充した。

試験の順序は豫め受壓器の感度を調整した後測定點に取付ける。4 個の中 1 個は受壓器と同徑の鐵板を壁面と平らになる様にねじ込む。その後静かに上記の方法により砂を満す。終つて受壓器の電氣容量を讀む事により之に働く靜土圧を讀みとる。次に函に水平振動を與へる普通 1 回の振動時間は約 30 秒、この振動中はオッショグラフにより感光紙に壓力を記錄する。第一回の振動を終つた後の静かな状態に於て更に靜土圧を讀みとる。普通これを 3 回反復する。振動試験を終つた後、受壓器を取り外し、水壓による検定装置に取付け受壓器の検定を行ふ。即ち壓力と電氣容量との關係を明にするのである。長い時間の間には之は變化するから試験毎に必ず検定を行つた。

壁の歪は  $1/100 \text{ mm}$  讀みツァイスダイヤルゲージに依り測定したが、取付に困難を感じ之は充分正確を期する事が出来なかつた。

## 2. 試験の種類及び結果

試験の種類 表-7 に示す通りであるが之を總括すれば次の通りである。

E-1~10	に於ては砂の深さは 190 cm	周期 0.9 秒、振幅 $r=31$ 及び 19 mm
12~15	145	" $r=19 \text{ mm}$
16~18	100	" "
19~22	35.2	" "
F-1~4	190	周期 1.8 秒、振幅 $r=25.3 \text{ mm}$
G-1~4	"	1.45~0.94 秒、振幅 $r=27\sim31.5 \text{ mm}$
H-1~6	"	" "

測定壁面は E~G は常に圖-15 断面 A-A に示した壁 I であり H は断面 C-C に示した壁 II である。即ち壁 II は I を更に補強したものである。

E-1~6 に於ては砂を填充した後十分に振動を與へ砂が沈定した後の状態のみに就て測定を行つたのであるが E-7 以後に於ては静に砂を填充した後の振動の初めから壓力を記錄した。砂詰め直後約 30 秒間振動を與へて静止せしめるその一群の連續振動を「第 1 回の(連續)振動」その次に砂はその儘にして同様の振動を與へたものを「第 2 回(連續)振動」と呼ぶ事とする。

装置の不完全な爲に振動中著しい衝撃があり、之が壓力に影響を與へた。主としてクラシク軸の連結點の接合不完全が直接の原因ではあるが、全體として原動装置が振動函に比べて小である事も大きな原因である。圖-17 は函の振動の記錄である。波の形が正弦曲線より多少歪んでゐる外に著しい事は認められない。然るに壁面に於ける壓力の记录には衝撃が著しく出てゐる(寫真-2, 3 参照)。圖-18 は寫真記錄を壓力に換算して書いたものである。加速度計(自己周期 0.1 秒)によつて函の振動を記錄せしめた處各回の連續振動の初めには特に著しい衝撃が認められ尙振動中常に不規則な加速度を示してゐた。

大型試験の最初の頃は函に砂を満して數回連續振動を與へて十分に沈定した後の壓力の记录をとつた。圖-18 はその振動中の記録である。函が單弦運動をしてゐる時は壓力變化も滑らかな曲線であるべき筈であるから——小型試験では此の如き結果を得てゐる。圖-18 から函の單位運動に相當する壓力變化を破線で連ねた如く推定して之とその時の單弦運動による加速度とを比較して見たいと思ふ。勿論衝撃による影響を記録から圖の如く勝手に除く事は極めて亂暴な取扱ひ方で實験的には許され難い。

圖-18. 振動中の壓力の記錄

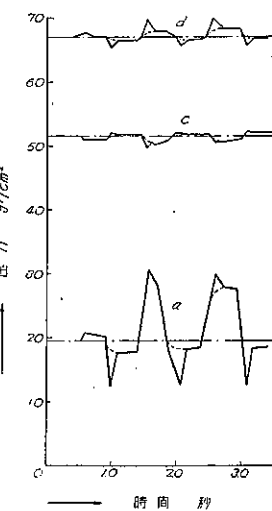


表-7. 大型試験の種類

実験番号	砂の深さ(cm)	壁	測定點 +は振動中の圧力の正負 ( )内は第1回振動中の圧力の正負, ○印は正負不明				振動周期(秒)	振幅r(mm)	最大震度 計算値〔及び測柱による値〕	記録
			a	b	c	d				
E-1	190	I	○		○	○(0.2)	0.9	31	0.16 [0.3~0.35]	準備試験
2	"	"	○		○	○(0.2)	"	"	"	"
3	"	"	+		-	+0.2)	"	"	"	振動第7回及び9回に記録をとる
4	"	"	+		○	-0.2)	"	"	"	第5, 7, 8回記録
5	"	"	+		○	-0.2)	"	"	"	第4及び6回
6	"	"	+		○	-0.2)	"	19及び31	0.094 [0.15~0.20] 0.16 [0.3~0.35]	第2及び4回 第5, 7, 9回
7	"	"		-	-	+0.2)	"	19	0.094 [0.15~0.20]	第1, 5, 6回
8	"	"		(+ -	(+ -	+0.2)	"	"	"	第1, 2, 4, 5回
9	"	"	{(+ +	+ -	+ -	+0.2)	"	"	"	第1, 2, 3回
10	"	"	{(+ +	+ -	+ -	+0.2)	"	"	"	第1, 2, 3回
11	空	"	{(+ +	+ -	+ -	+0.2)	"	"	"	
12	145	"	(+ +	+ -	+ -	+0.2)	"	"	"	第1, 2, 3回
13	"	"		"	"	"	"	"	"	
14	"	"		"	"	"	"	"	"	
15	"	"		"	"	"	"	"	"	
16	100	"			+ +	+ +	0.9	19	0.094 [0.15~0.20]	第1, 2, 3回
17	"	"			{(+ +	+ +	"	"	"	" (壁の変位測定)
18	"	"			{(+ +	+ +	"	"	"	" (この試験の後空の状態にて振動して記録をする変位測定)
19	35.2	"				+	"	"	"	第1, 2, 3回
20	"	"				+	"	"	"	"
21	"	"				+	"	"	"	"
22	"	"				+	"	"	"	"
F-1	190	"	+	○	+0.2)	+0.2)	1.8	25.3	0.031 [0.08~0.10]	"
2	"	"	+	+		+0.2)	"	"	"	"
3	"	"	+	+		+0.2)	"	"	"	"
4	"	"	+	+	+0.2)		"	"	"	"
G-1	"	"	+	+		+0.2)	1.45~0.94	27~31.5	0.05~0.15 [0.1~0.3]	"
2	"	"	+	+	+0.2)		"	"	"	第1, 2, 3, 4回
3	"	"	+	-	+0.2)	+0.2)	"	"	"	"
G-4	"	I	+	+	+0.2)		1.45~0.94	27~31.5	0.05~0.15 [0.1~0.3]	第1, 2, 3, 5, 6回
H-1	"	II	+0.2)		+	+0.2)	"	"	"	第1, 2, 3回
2	"	"	+	+	+0.2)		"	"	"	"
3	"	"	+	+	+0.2)		"	"	"	第1, 2, 3, 4回
4	"	"		+	+	+0.2)	"	"	"	第1, 2, 3回
5	"	"		+	+	+0.2)	"	"	"	"
6	"	"		+	+	+0.2)	"	"	"	"

0.2) は受压器膜面厚さ 0.2 mm のものを使用した場合、他はすべて 0.1 mm のもの使用

い事であるが、この装置を急に改造する事は時局柄出来難いので止むを得ずかゝる方法を探つた。

以下この方法によつて整理した結果を試験の順序に従つて説明する。試験は初めに壁 I に於て砂の沈定後の状態に於て、砂の深さを變へた場合及び加速度を變へた場合に就て行ひ、次に一回の連續振動中次第に周期を小にした場合に就て試験し、次に壁の影響を見る爲に I よりも更に剛なる壁 II に就て次第に周期を小にした場合に就て試験したのである。

振動中に時々壁の變位を測定した。函の側壁天端から 3" 山形鋼の腕木を水平に函の長さの方向に幅の中央に出し、之の壓力測定壁前面と函の内側底面隅とを同じ山形鋼で繋ぎ、之で上端を支へた鉛直の桁に取付けたダイヤルゲージによつて壁の振動中の變位を観測した。桁の下端は函底面で支へた。振動中肉眼でよみとつた爲に 2/100 mm 程度の誤差があり得る外に、前述の衝撃によつて瞬間的に針が振れる場合その最大を探つたから、之は大體の見當を示すに止まる。表-8 の値は何れも砂が沈定した後に於ける値であるが観測の場合によつて異なるからそな範囲を記した。

圖-19 は震度  $k$  (衝撃のない單弦運動としての水平震度、以下  $k$  は常に之を表はす) = 0.16 の場合で土砂沈定後の壓力の波の振幅である。圖の右にある+の記入は函の加速度が正の方向に最大の場合に壓力の波が平均より大なる場合を + とし反対に函の負の加速度が最大の時壓力が小ならば - とした。但し圖-15 に於て右を正とする。圖-19 に於て測點 a, b, d は c に對して符号が反対である。之に就て試験 F 及び H 等にて慥めた結果、壁の歪が原因の様に思はれる。F 及び H<sup>1</sup> の如く壁の歪が小である時には全部が + に出るからである。

振動中の内部土壓力の變化よりも壁の變位による影響が

圖-19. 試験結果 E-3 及び 4

黒丸は砂入直後の正土壓、横に細長い矩形は壓力の振幅、白丸はその振動の始まる以前の靜土壓、同一試験の値を同じ水平線上に記入した。同じ水平線上に相當する値が記入されてゐないものは測定値を得られなかつたものである。振動  $r=31$  mm,  $T=0.9$  秒

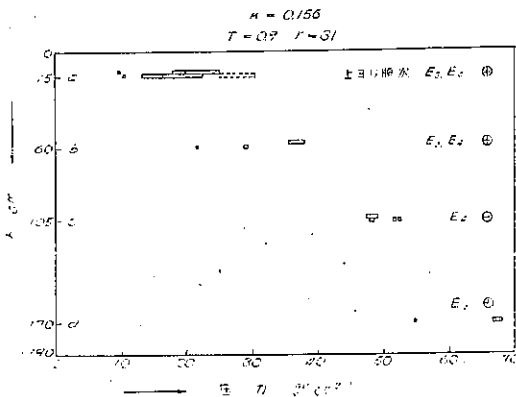


表-8. 振動中の壁の歪の振幅 (単位 mm)

試験	震度 (單弦運動 としての)	測				備考
		a	b	c	d	
E₀~E₁₀	$k=0.094$	0.2~0.4 mm	0.1~0.27 mm	0.05~0.07 mm		空の状態から砂を満した時の壁の變位は壁 II にて測定の結果は
F	0.08	0.10	0.075	0.03	0.02	a, 0.49 mm
G(壁 I)	0.05	0.12~0.14	0.07~0.10	0.04~0.07	0.01	b, 1.10
"	0.10	0.30~0.35	0.18~0.60	0.12~0.15	0.015	c, 1.30
"	0.15	1.00	0.60~0.70	0.37~0.40	0.010	d, 0.85
H(壁 II)	0.05	0.12~0.15	0.06~0.08	0.06~0.08	0.02	
"	0.10	0.25~0.28	0.10~0.16	0.10~0.15	0.03~0.06	
"	0.15	0.32~0.40	0.32~0.40	0.30~0.35	0.06~0.10	であつた。

大なる場合には - となり、然らざる場合は + となる、c が前者 a, b 及び d は後者である、a, b の變位が割合に大であるに拘らず + であるのは表面附近では内部土壓力の變化が大である爲と思ふ。

圖-20 は震度  $k=0.094$  に相當する振動であつて圖-19 に比し振幅が小なる場合であるが、深さ  $H$  が 190, 145, 100 及び 35 cm の場合を比較するに、表面から同じ深さ特に 15 cm では略々同じ壓力の振幅を示してゐる。 $H=35$  cm の場合には稍々小に出てゐるのは底面の影響と思ふ、小型試験では  $H=40$  cm から砂の深さが次第に小になるに従つて表面から同じ深さの壓力の振幅が次第に小になつてゐる事と合せ考へるに、この砂の場合は深さが 40 cm 以上では底面の影響が表面附近にはあらはれない様になるものと思はれる。

図-20. 試験結果 E-6~22

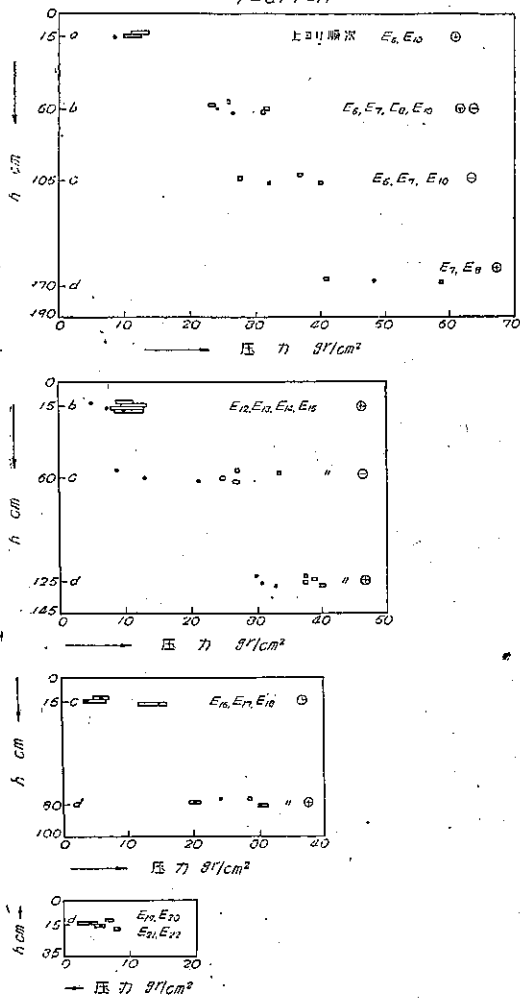
 $r = 19, T = 0.9$  $K = 0.09$   
 $T = 0.9 r = 19$ 

図-20. 試験結果 E-6~22

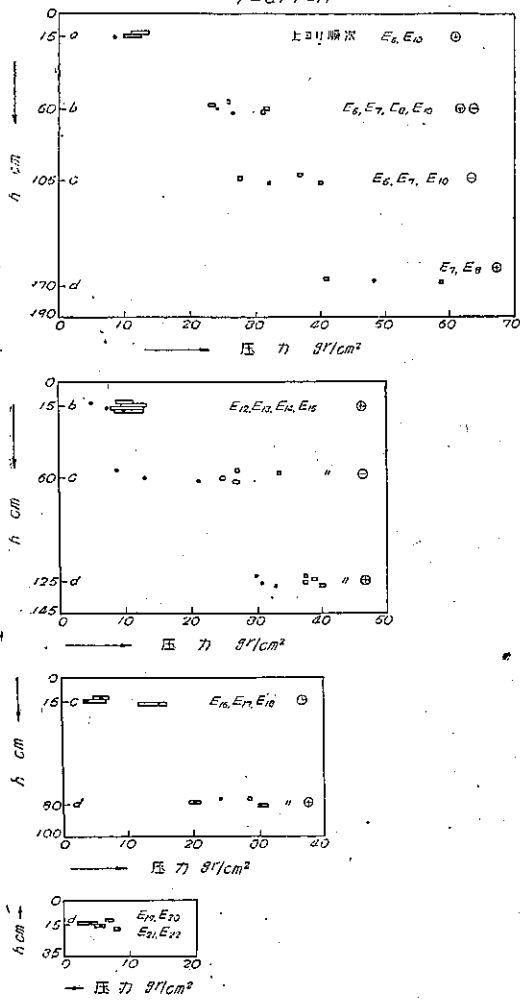
 $r = 19, T = 0.9$  $K = 0.09$   
 $T = 0.9 r = 19$ 

図-21 は試験 F の結果で  $k = 0.03$  に相當する。之は振動中の圧力變化は小であるが(寫真-2 の最下の記録参照)各測點の圧力の正負は常に平行してゐる。

図-19, 20, 21 を比較するに何れも  $H = 190 \text{ cm}$  の場合に於て地表面から 15 cm の場所に於て砂の安定した状態に於ける圧力の振幅は表-9 の如くである。

表-9.

	振動の振幅 mm.	周期 秒	最大震度	圧力の波の振幅 (平均) gr/cm²
E <sub>3</sub> , E <sub>4</sub> (図-19)	31	0.9	0.156	7.3
E <sub>6</sub> ~E <sub>10</sub> (図-20)	19	0.9	0.09	2.7
F <sub>1</sub> ~F <sub>4</sub> (図-21)	25.3	1.8	0.03	0.5

即ち震度の割合よりも圧力の振幅の増す割合の方が大である。

図-21. 試験結果 F

 $r = 25.3, T = 1.8$ 

振動中の圧力の振幅は極めて小(写真-2 参照)であるから振動後の静土圧力を丸で示した。

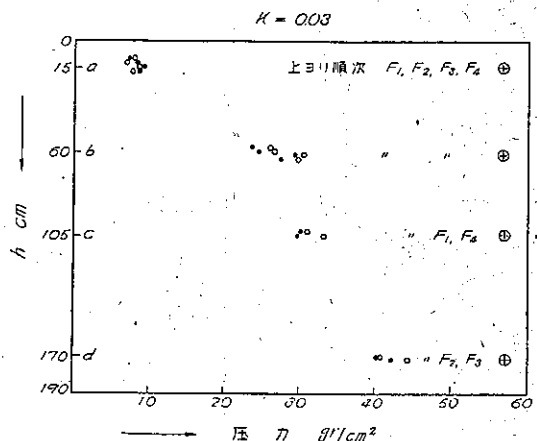


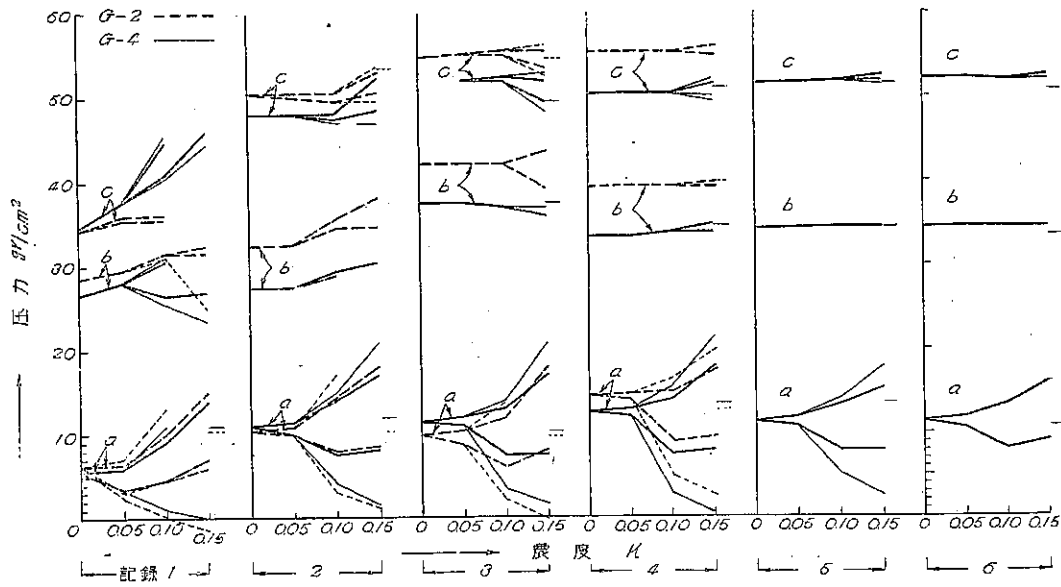
図-22, 23 は壁 I 及び II による  $H = 190 \text{ cm}$ ,  $T = 1.45 \sim 0.94$  秒の間次第に變化する振動を與へた結果であつて,  $r$  は振動中略一定である。振動中の周期と振幅から震度 0.05, 0.10 及び 0.15 に相當する時の圧力を記録から拾つてその間を直線で結んだものである。實際は此等の震度の場所で急に變化するのではない。圖の細線は振動中の衝撃の爲に瞬間的にはね上つた値であつて、太線が図-19~21 を扱つた同じ方法による値である。図-22 a) には測點 a, b, c を組合せた場合の 2 組の試験 G<sub>2</sub> 及び G<sub>4</sub> を重ねて書いた、G-2 は圖の下に記録 1 と記した第 1 回の連續振動を行つた後更に 2~6 回振動を與へ G-3 は 1 回から 4 回まで振動を與へたが図-22 b) 及び図-22 c) の G<sub>1</sub> 及び G<sub>3</sub> では各 3 回宛に止めた。振動中圧力が不規則に變化した場合には光が記録紙から外れる事が多く、かかる場合は圖の中の折線は途中で切れた儘になつてゐる。振動を止める場合の衝撃の爲に光が記録紙から外れた時には終りの静土圧の測定は出來なかつた。H<sub>1</sub>~H<sub>6</sub> では各 3 回宛連續振動を與へ測點の同一組合せのものを 2 回宛試験した(図-23 及び写真-3 参照)。

G 及び H は何れも同一試験に於て結果が相當に開いてゐるものが多い。最初の砂の詰め方の相違のみでなく振動中特に振動を止める時の僅の状態の相違によつて違つて來る様に思ふ。又測點 a では細線と太線との關係即ち壓力に及ぼす衝撃の影響の考へ方に考慮の餘地がある様であるが今はこの太線のみに就て考へる事とする。

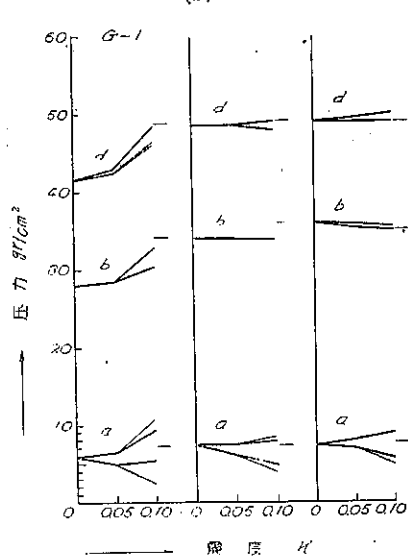
図-22. 試験 G 加速度と圧力の振幅

$k=0.05, 0.10, 0.15$  のみをとりこの間を直線で結ぶ。太線は単弦振動による壓力變化と推定する  $\lambda$  値、細線は瞬間的にはね上つた壓力、 $k=0.15$  後の短い細い水平線は振動後の静土壓。

(a)



(b)



(c)

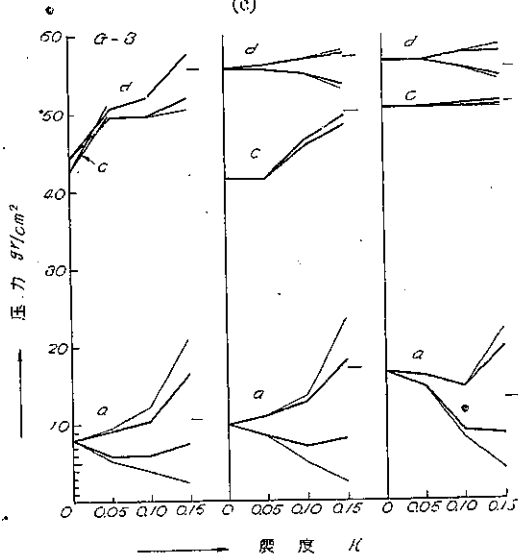
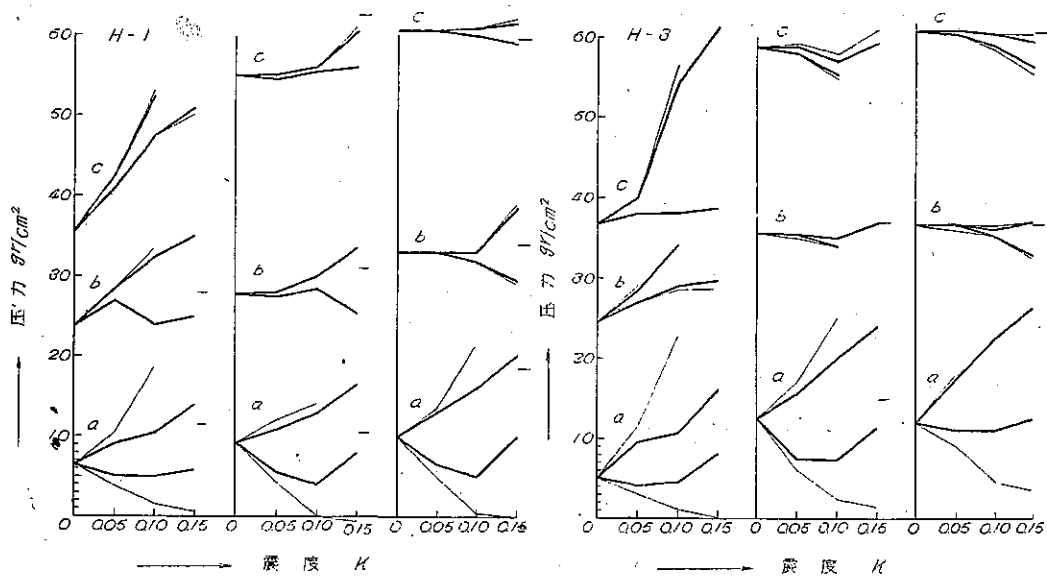


図-24, 25 は上の 2 つの場合に就て第 1 回の連続振動及び第 3 回の連続振動中の  $k=0.05, 0.01$  及び  $0.15$  の壓力と壁の高さとの関係を示したものである。圖中の黒丸は砂詰め直後の正土壓である。試験 G (図-24) と H (図-25) と著しく異なる事は G に於ては測點 b に於て壓力の正負が他の測點と逆になる事があるが H に於ては常にすべてが平行である事である。之は既に述べた如く壁の変位の影響であると思ふ。一般に壓力の波の振幅は試験 H に於ては G よりも大であつて、壁の変位が著しく影響する事を示してゐる。G 及び H 共に大體に於て深さと共に壓力の振幅が減少する事<sup>8)</sup> 震度が大なる時に壓力の振幅も大なる事は同様である。G に於て

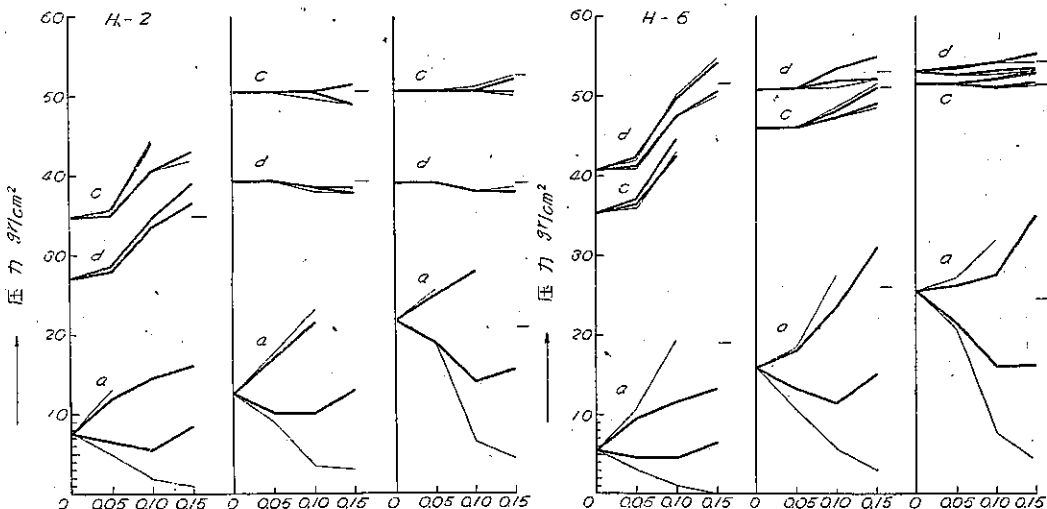
8) 試験 H に於ては第 1 回振動の測點 b 及び c の壓力の振幅が a よりも稍大なる場合がある。振動初めの砂の沈定の影響がこの深さにまで及ぶ爲と思ふ。

図-23. 試験 H.

(a)



(b)



は第3回の振動に於ては第1回よりも一般に圧力の振幅が小であるが測點aでは却つて大である原因が明らかでないが測點aに於ける衝撃による影響の考へ方に疑問が残されてゐる事は前述の通りであるから、更に良好な振動装置を得て試験を行つた後に検討する事にしたい。

G及びHに於て表面から15cmの深さ測點aに於ける圧力の変化は表-10の通りである。

表-10.

	$k=0.05$	$k=0.10$	$k=0.15$
G <sub>1</sub> 第1回	2.5 gr/cm <sup>2</sup>	4.5 gr/cm <sup>2</sup>	8.4 gr/cm <sup>2</sup>
第3回	1.5	5.8	10.2
H 第1回	4.9	7.0	7.5
第3回	6.0	12.0	14.2

図-23. (c)

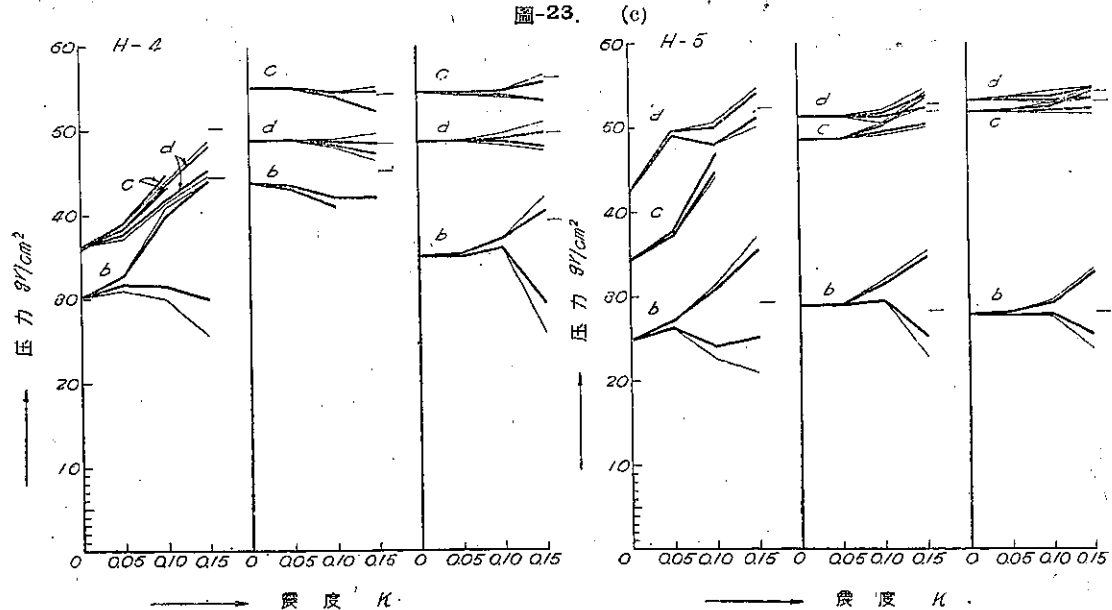


図-24. 試験 G 各加速度と圧力の振幅との関係

黒丸は振動前即砂入れ直後の正土圧、水平に長い矩形の長さが振動中の圧力の変化(面の単弦振動に相当する値)、白丸は同一水平線上の矩形に對應する。

(a) 第1回の振動

(b) 第3回の振動

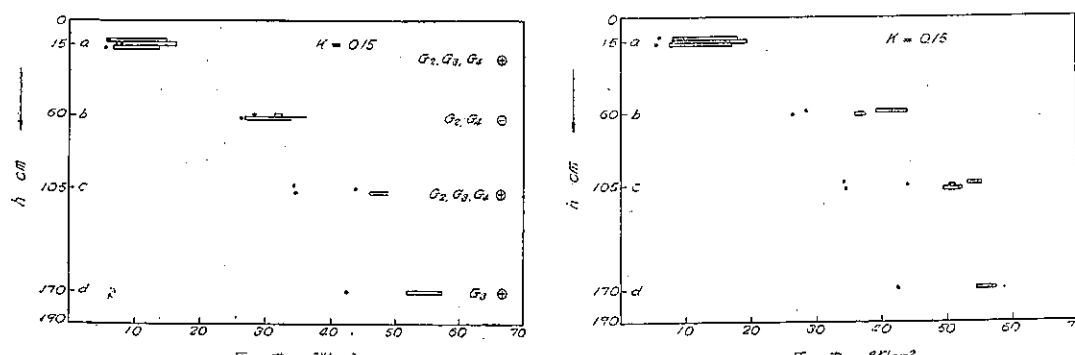
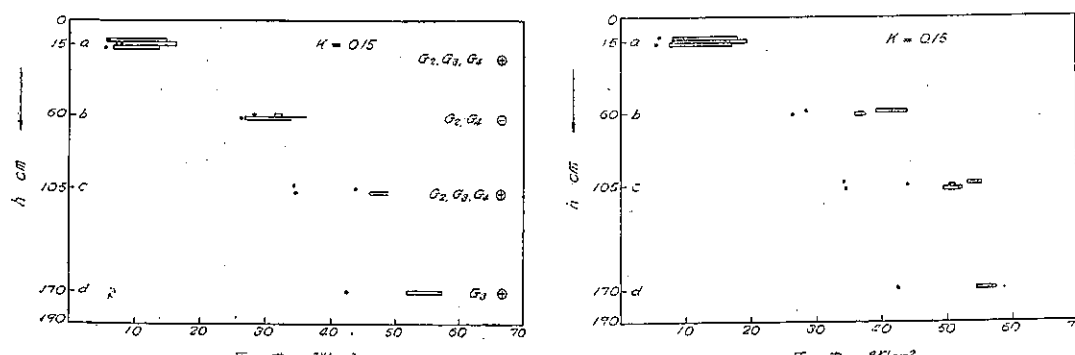
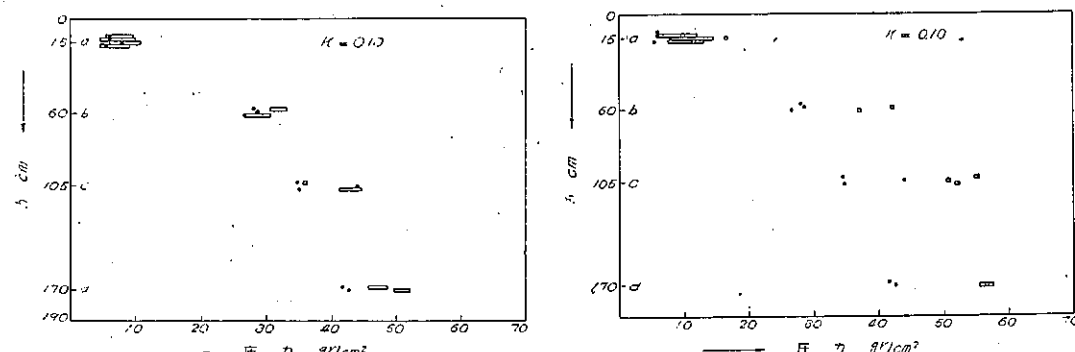
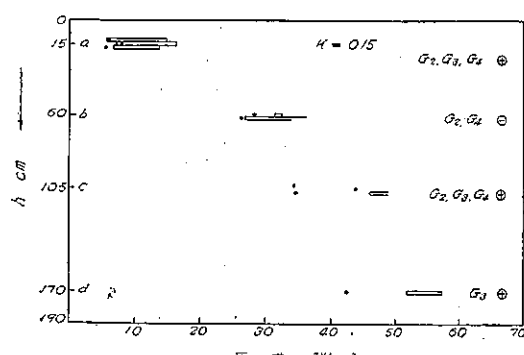
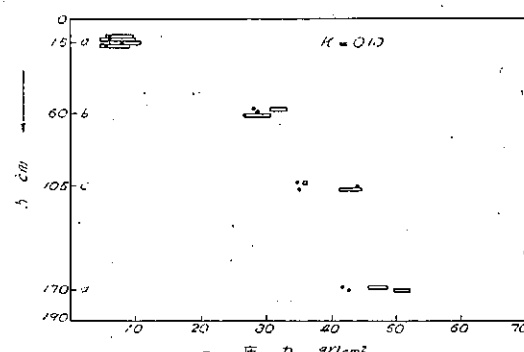
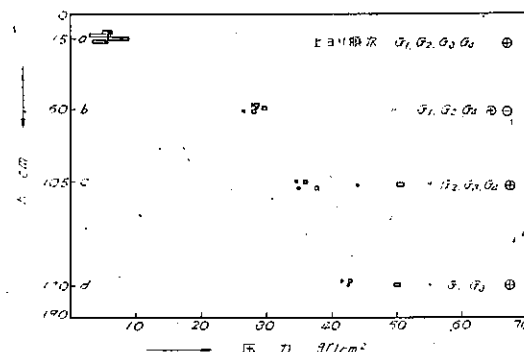
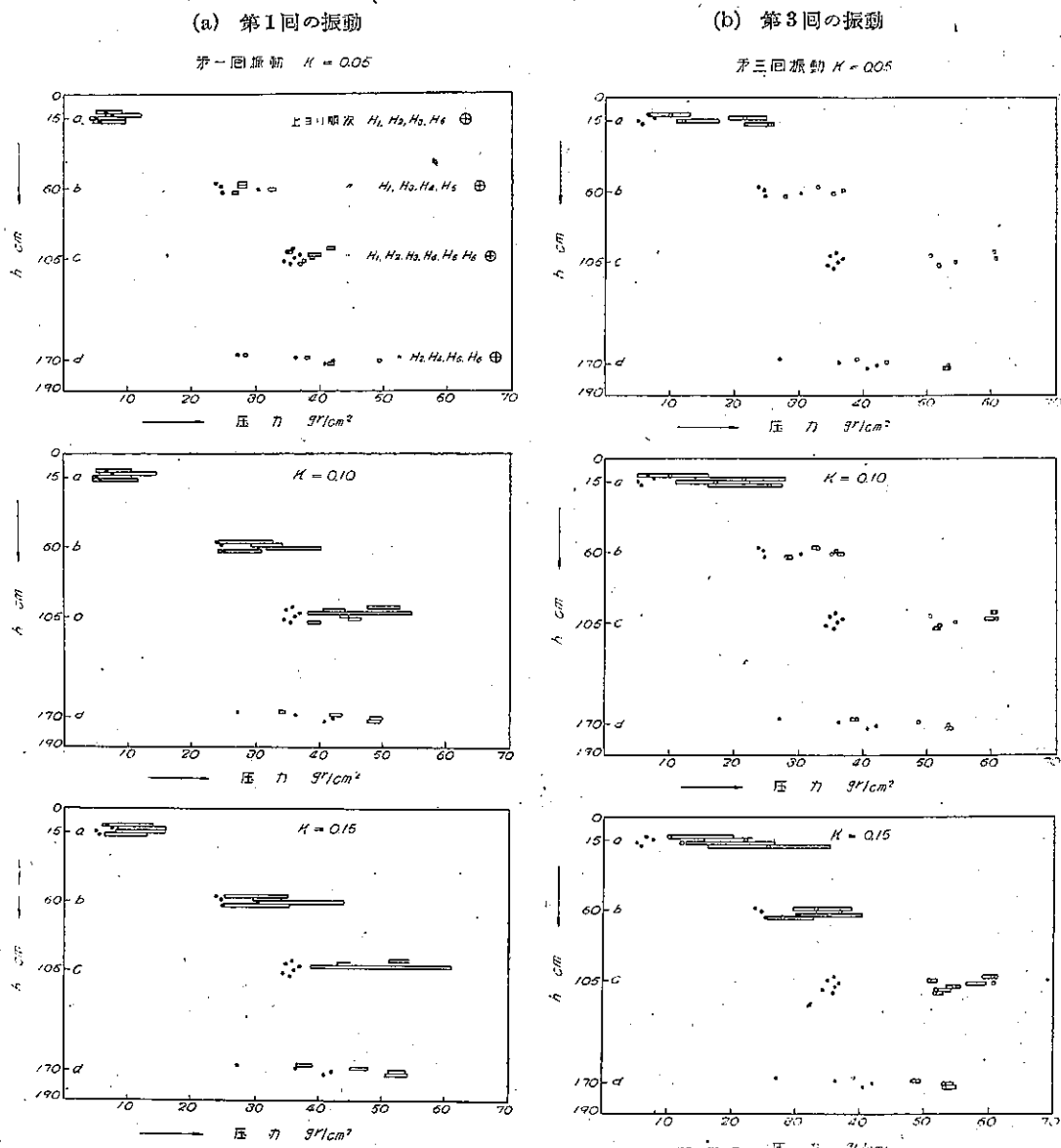
第一回振動  $K = 0.05$ 第三回振動  $K = 0.05$ 

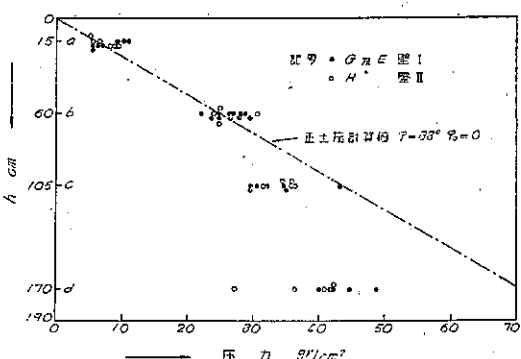
図-25. 試験 H



静土圧の変化 振動後に函を静止せしめた時の静土圧力の大きさは振動前よりも一般に大である。特に砂を詰めた直後の第1回の振動に於ては震度が次第に大になると共に平均圧力も次第に増大する。

図-26 は砂詰め直後の圧力であつて、所謂正土圧に相當すべきものである。小型試験の場合には計算値とよく一致したがこの試験では測点 c 及び d に於て著しく小である。砂を詰めた場合の壁の変位が表-8 の備考欄に示した如く測点 c, b, d, a の順に次第に小となつてゐる。之は前記計算値の基をなすクーロム土壓

図-26. 深さ 190 cm の場合の砂入直後の正土圧

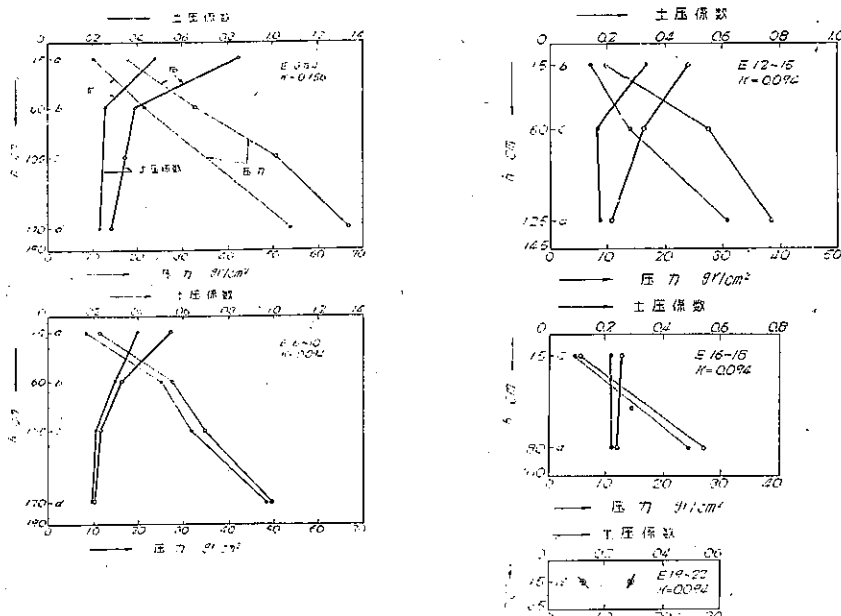


論の假定とは異なる變位である爲、壓力分布も計算とは異つて來たと思ふ。此の事は既に Terzaghi 氏等によつて慥められた處である<sup>9)</sup>。d に於ける測定値が著しく不整である事は底面の爲に壁の變位の影響が特に大である爲と思ふ。

圖-27 は試験 E の砂詰め直後の正土圧及び數回振動後の靜土圧(平均値)と之等を土圧係数に換算した値とを

圖-27. 振動による靜土圧の増加(試験 E-3~22)

(a) (b)

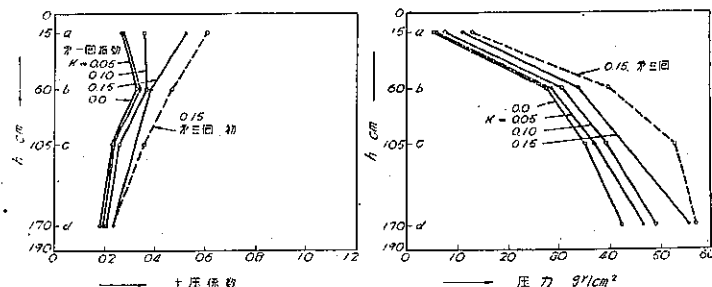


示した。振動後に於ては震度が大なる程靜土圧が大である事は明に認められるが深さの異つた場合の相互の間には秩序立つた關係を認め難い。壁の變位と初めの砂詰めの狀態が異なる爲と思ふ。

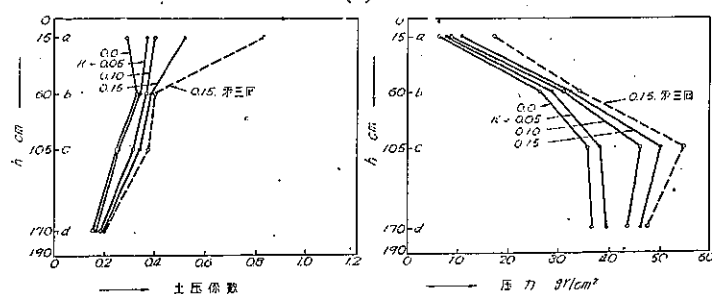
圖-28 は G 及び H に於ける第 1 回連續振動中の各震度に於ける平均土圧及び第 3 回振動の  $k=0.15$  の平均土圧及び夫等を土圧係数に換算したものである。何れも各測點を得た觀測値全體の平均である。測點 c の値が試験 H に於ては G に比し大であるに反し d では G が大である。壁の變位の影響と思ふ。壁の變位が大なる時には深所までゆり込みの影響が及ぶ爲であらう。圖-14 の結果と比較するに前者は振動によ

各  $G_1 \sim G_4$ ,  $H_1 \sim H_4$  試験の平均値。但し測點 c に於ける  $G_3$  のみは除いて整理した。

(a)



(b)



る静土圧の増加は  $k=0.35\sim0.4$  に於て表面より 15 cm 下附近に於ける土圧係数の増加は 0.2 より稍小であるが、圖-28 のものは  $k=0.15$  に於て同じ深さに於ける増加は 0.4~0.6 であつて前者よりも遙に大である。深さが大なる事の外に衝撃の影響もあるであらう。之に就ては更に別の試験を計畫してゐるから之によつて確かめたいと思ふ。

#### 4. 結 言

以上の試験に於て

1. 振動中の圧力の變化は壁面の變位の影響が大である事
2. 最大震度に達した初期に於て土壓力は最大である事
3. 振動後に於ては前に於けるよりも大なる静土圧力を示す事
4. 増加圧力の合力は高さの  $1/3$  よりも高い事

は前報告の結果と全く一致する。

又壁面全體に作用する土壓力に就て本報告の小型振動函による結果と前報告とを比較するに兩者割合に近似した値を得てゐる。しかして本試験によつて前試験では明らかでなかつた圧力の分布状態が明にされた。即ち増加圧力は振動初期に於ては高さに割合に一様に分布してゐるのが土砂の沈定と共に深い場所での圧力變化が次第に小となる事が明にされた。

大型試験によつて振動函の深さの影響を考ふるに、砂表面附近の圧力の振幅は函の深さの増大と共に多小増大する傾向は認められるが、1 m 以上では函の深さの増大は表面附近の圧力振幅の増大を伴はない。即ち、夫以上では深さに無関係である。從つて實際の岸壁等に於ける地震時の土壓振幅も略茲に得たものに近い様に思はれる。

しかし上記は乾燥した砂のみについて試験した結果であり、大型函に於ける振動は不完全であつたから、之によつて得た土圧係数を直ちに實際の設計に用ふるのは尙早計であつて夫には更に種々の振動周期、土質就中水を含んだ土に就て試験し、又理論的な研究と相俟つて決定しなければならぬ。しかし以上の結果によつて在來の地震時土壓計算法とは全然異なる圧力分布を示す事は明言してよいと思ふ。偶々深さ  $H=40$  cm の試験に於ける増加圧力總量は在來計算式と略近似してゐる<sup>10)</sup>爲前報告には誤つた判對を下したのであつた。

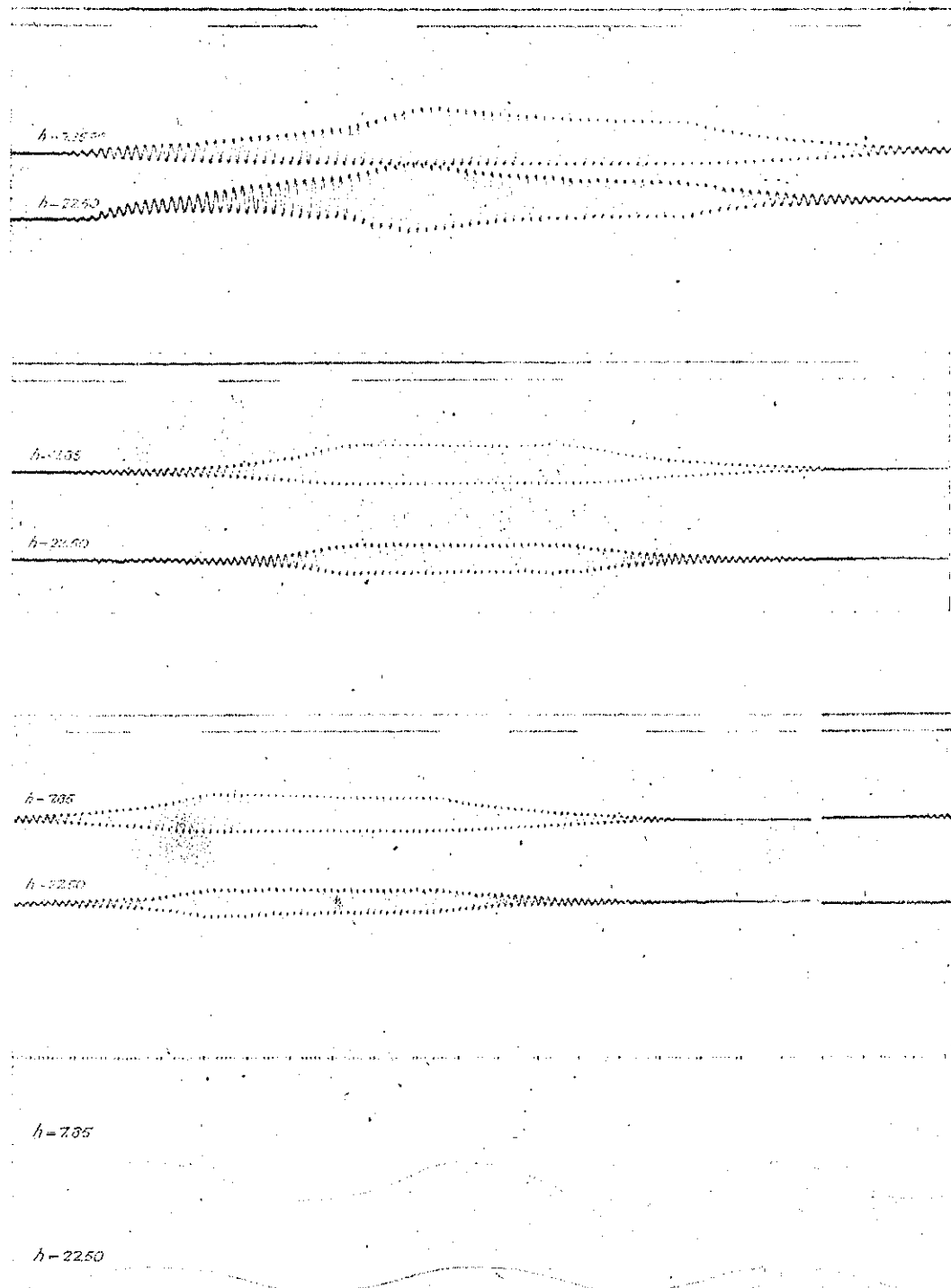
著者は地震時に増大する土壓は土砂沈定の影響を除けば壁の變位が一様の場合には、極めて表面に近い部分を除き各深さに於て略一様と考へてよいやうに思ふ。即ち鉛直壁面に作用する海の重複波の圧力<sup>11)</sup>と相似の圧力分布を示すやうに思ふ。計畫に堪能の士に依つて之が闡明され、上記の結果が理論的に體系づけられる日のある事を期待する。

<sup>10)</sup> 前報告に於て當分の間近似的に前記計算法を採用して差支なしと結論したのはこの結果によつたのであるが、大型試験の結果之の誤りである事が明らかとなつたから茲に訂正する。

<sup>11)</sup> Annales des Ponts et Chausseés 1928-IV.

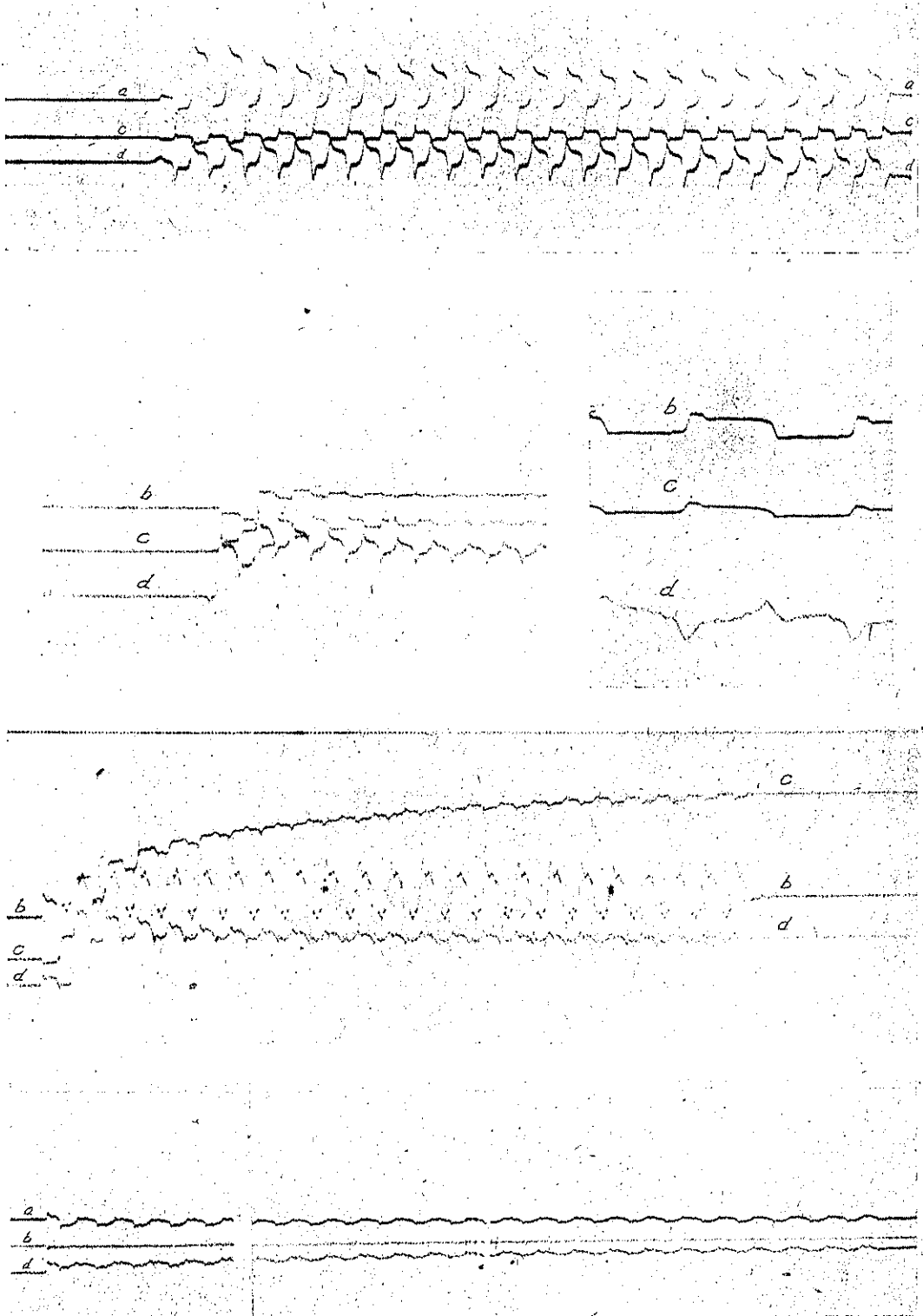
## 寫眞-1. 小型振動函試験

記録、試験 B-1 (表-2) 上より順次第1回、第2回、第3回及び第4回 振動、第4回目は震度 0.4 の短い時間の記録である。



## 写真-2. 大型振動函試験記録

上より順次 E-3 (表-7) E-7, (左は振動の初め, 右は振動中の短い時間), E-12 及び F-2  
E-3 は  $r=31$  mm,  $T=0.9$  秒,  $k=0.155$ , E-7 及び E-12 (砂の深さ 145 cm) は  $r=19$  mm,  
 $T=0.9$  秒,  $k=0.094$ , F-1 は  $r=25.3$  mm,  $T=1.8$  秒,  $k=0.031$  の何れも一様な振動。



## 写真-3. 大型試験

H-6 上より順次第1, 2, 3回振動記録

